

## الطيف الدواراني الجزيئي Molecular rotational spectra

### الطيف الدواراني Rotational spectra

ينشأ الطيف الدواراني الجزيئي كنتيجة لحركة الذرات المرتبطة سوياً ضمن الجزيئة حول محور معين، يقع الطيف الدواراني الجزيئي ضمن ترددات منطقة المايكروويف Microwave region. أهمية دراسة وحسابات الطيف الدواراني الجزيئي Molecular rotation spectra تتمثل في مقدار المعلومات التي يمكن الحصول عليها من الأطيف الدوارانية والمتضمنة تحديد الوضع الفراغي الجزيئي Molecular geometry ويشمل أطول الأواصر والزوايا. بالإضافة إلى تحديد ترددات منطقة الامتصاص. كما ويمكن أن يستخدم كوسيلة التشخيص للمواد اعتماداً على الامتصاص الدواراني.

### الحركة الدوارانية للجزيئات Molecules rotational motion

النموذج الذي يستخدم لوصف الحركة الدوارانية للجزيئات يعتمد على فكرة أن الجزيئات تتكون من ذرات ذات كتلة  $m$  لها حرية الحركة على سطح كروي نصف قطره ثابت  $r$ . يكون فرق الجهد على السطح الكروي لهذه الحركة يساوي صفر. وبهذا فان مؤثر الهمتون لهذه الحركة سيكون عبارة عن طاقة حركية Kinetic energy فقط.

$$\hat{H}(x, y, z) = -\frac{\hbar^2}{2m} \nabla^2$$

ويمثلها حركة دوارانية فمن الأفضل استخدام الإحداثيات الكروية Spherical coordinates

$$x = r \sin \theta \cos \phi, y = r \sin \theta \sin \phi, z = r \cos \theta$$

وبذلك يكون مؤثر الهمتون بالشكل التالي.

$$\hat{H}(r, \theta, \phi) = -\frac{\hbar^2}{2m} \left[ \frac{1}{r} \left( \frac{\partial^2}{\partial r^2} \right) r + \frac{1}{r^2} \Lambda^2 \right]$$

حيث  $\Lambda$  يمثل Legendrian ويعبر عنه وفق الإحداثيات الكروية بالشكل التالي

$$\Lambda^2 = \frac{1}{\sin^2 \theta} \left( \frac{\partial^2}{\partial \phi^2} \right) + \frac{1}{\sin \theta} \left( \frac{\partial}{\partial \theta} \right) \sin \theta \left( \frac{\partial}{\partial \theta} \right)$$

وبما أن  $r$  ثابت فان المشقة الثالثية متتساوي صفر وبذلك فان مؤثر الهمتون سيحتوي فقط على المؤثر الخاص بالجزء الرازي.

$$\hat{H}(\theta, \phi) = -\frac{\hbar^2}{2mr^2} \Lambda^2 = -\frac{\hbar^2}{2I} \Lambda^2$$

$$\hat{H}(\theta, \phi) = -\frac{\hbar^2}{2I} \left[ \frac{1}{\sin^2 \theta} \left( \frac{\partial^2}{\partial \phi^2} \right) + \frac{1}{\sin \theta} \left( \frac{\partial}{\partial \theta} \right) \sin \theta \left( \frac{\partial}{\partial \theta} \right) \right]$$

حيث  $I$  يمثل عزم القصور الذاتي Moment of inertia للجزيئة. وبذلك فان معادلة شرويدنكر لجسم يتحرك على سطح كروي ستقنون.

$$\hat{H}(\theta, \phi)\psi(\theta, \phi) = -\frac{\hbar^2}{2I} \left[ \frac{1}{\sin^2 \theta} \left( \frac{\partial^2}{\partial \phi^2} \right) \psi(\theta, \phi) + \frac{1}{\sin \theta} \left( \frac{\partial}{\partial \theta} \right) \sin \theta \left( \frac{\partial}{\partial \theta} \right) \psi(\theta, \phi) \right]$$

$$\hat{H}(\theta, \phi)\psi(\theta, \phi) = E\psi(\theta, \phi)$$

حيث أن الدالة الموجية  $\psi(\theta, \phi)$  تمثل حاصل ضرب دالتين  $\psi(\theta, \phi) = \Theta(\theta)\Phi(\phi)$  وبالمعريض في معادلة شرويدنكر السابقة نحصل على

$$\hat{H}(\theta, \phi)\Theta(\theta)\Phi(\phi) = -\frac{\hbar^2}{2I} \left[ \frac{1}{\sin^2 \theta} \left( \frac{\partial^2}{\partial \phi^2} \right) \Theta(\theta)\Phi(\phi) + \frac{1}{\sin \theta} \left( \frac{\partial}{\partial \theta} \right) \sin \theta \left( \frac{\partial}{\partial \theta} \right) \Theta(\theta)\Phi(\phi) \right]$$

الجزء الأول من المعادلة يمثل حركة جسمها بصورة حلقة حيث إن .

$$\left( \frac{\partial^2}{\partial \phi^2} \right) \Theta(\theta)\Phi(\phi) = -m_j^2 \Theta(\theta)\Phi(\phi)$$

و على اعتبار أن حل هذه المعادلة  $\Phi(\phi) = \sqrt{\frac{1}{2\pi}} e^{im_j \phi}$ ,  $m_j = 0, \pm 1, \pm 2, \dots$  هو  $\frac{\partial^2 \Phi(\phi)}{\partial \phi^2} = cons.$

فإن المعادلة ستؤول إلى الشكل التالي .

$$-\frac{\hbar^2}{2I} \left[ \frac{-m_j^2}{\sin^2 \theta} \left( \frac{\partial^2}{\partial \phi^2} \right) \Theta(\theta) + \frac{1}{\sin \theta} \left( \frac{\partial}{\partial \theta} \right) \sin \theta \left( \frac{\partial}{\partial \theta} \right) \Theta(\theta) \right] = E\Theta(\theta)$$

حل هذه المعادلة يكون

$$\Theta(\theta) = \sqrt{\frac{(2l+1)(l-|m_j|)!}{2(l-|m_j|)!}} P_l^{|m_j|}(\cos \theta)$$

وان الدالة التي تمثل للحركة التوافقية الدورانية الكروية هي .

$$Y_{lm_j}(\theta, \phi) = \Theta(\theta)\Phi(\phi)$$

$l$	$m_j$	$Y_{lm_j}(\theta, \phi)$
0	0	$\frac{1}{\sqrt{2}}$
1	0	$\frac{1}{2}\sqrt{\frac{3}{\pi}} \cos \theta$
1	$\pm 1$	$\mp \frac{1}{2}\sqrt{\frac{3}{\pi}} (\sin \theta)e^{\pm i\phi}$
2	0	$\frac{1}{4}\sqrt{\frac{5}{\pi}} (3 \cos^2 \theta - 1)$
2	$\pm 1$	$\mp \frac{1}{2}\sqrt{\frac{15}{2\pi}} (\cos \theta \sin \theta)e^{\pm i\phi}$
2	$\pm 2$	$\frac{1}{4}\sqrt{\frac{15}{2\pi}} (\sin^2 \theta)e^{\pm 2i\phi}$
3	0	$\frac{1}{4}\sqrt{\frac{7}{\pi}} (2 - 5 \sin^2 \theta) \cos \theta$
3	$\pm 1$	$\mp \frac{1}{4}\sqrt{\frac{21}{2\pi}} [5 \cos^2 \theta - 1] \sin \theta e^{\pm i\phi}$
3	$\pm 2$	$\frac{1}{4}\sqrt{\frac{105}{2\pi}} [\cos \theta \sin^2 \theta] e^{\pm 2i\phi}$
3	$\pm 3$	$\mp \frac{1}{4}\sqrt{\frac{5}{\pi}} (\sin^3 \theta) e^{\pm 3i\phi}$

إذا أثربنا  $\Lambda^2$  على دالة الحركة التوافقية الكروية فإن القيمة الذاتية ستكون .  
 $\Lambda^2 Y_{lm}(\theta, \phi) = -l(l+1)Y_{lm}(\theta, \phi), l = 0, 1, 2, \dots; m_l = 0, \pm 1, \pm 2, \dots$

وأن الطاقة لهذه الحركة التوافقية الكروية تكون .

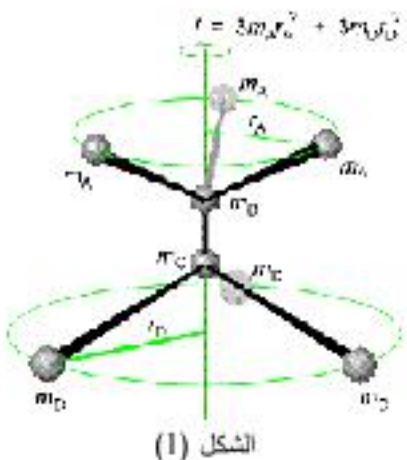
$$E = \frac{\hbar^2}{2I} l(l+1), l = 0, 1, 2, \dots$$

### عزم القصور الذاتي Moment of inertia

يعرف عزم القصور الذاتي للجزء على أنه المجموع الخطى لحاصل ضرب كتلة كل ذرة ضمن الجزء بربع بعدها عن محور الدوران .

$$I = \sum_{i=1}^N m_i r_i^2$$

الشكل (1) يوضح عزم القصور الذاتي لنظام جزئي وللذي بين تأثير الوضع الفراغي على قيمة عزم القصور الذاتي للجزء . الخواص الدورانية لأي جزء يمكن أن تعتمل على أساس أن عزم القصور الذاتي يكون حول ثلات محاور متعامدة في جزء ما وكما مبين في الشكل (2) بحيث أن  $I_c \geq I_b \geq I_a$



(مثال) اوجد عزم القصور الذاتي لجزء  $H_2O$  حول محور الدوران الثاني . إذا علمت أن  
 $\angle HOH = 104.5^\circ$  و  $O-H = 95.7 pm$

الحل :

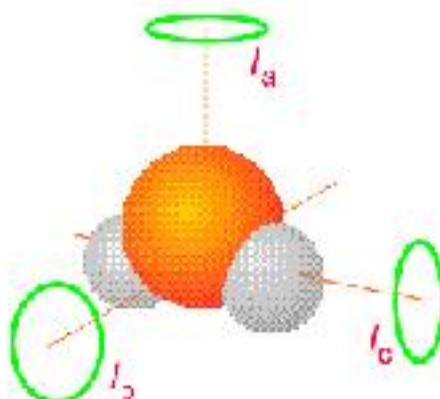
$$I = \sum_{i=1}^N m_i r_i^2 = m_H r_H^2 + m_O r_O^2 + m_H r_H^2$$

$$I = 2m_H r_H^2$$

$$r_H = R \sin \phi, \phi = \frac{104.5^\circ}{2}$$

$$I = 2 \left[ (1.67 \times 10^{-21} kg) (9.57 \times 10^{-11} m)^2 \sin^2 (52.3) \right]$$

$$I = 1.91 \times 10^{-47} kg.m^2$$



الشكل (2)

(تمرين) احسب عزم القصور الذاتي لجزيئه  $\text{CHCl}_3$  حول محور الدوران الثالثي. إذا علمت أن

$$m_{\text{C}} = 34.97 \text{ u} \quad \text{و} \quad < \text{HCCl} = 107^\circ \quad \text{C} - \text{Cl} = 177 \text{ pm}$$

$$\text{الجواب: } I = 4.99 \times 10^{-45} \text{ kg.m}^2$$

إذا كان موقع الذرات في الجزيئة محدد ضمن الإحداثيات  $(x, y, z)$  وإن مركز كتلة الجزيئة Molecular center of mass يقع عند نقطة الأصل فأن كل ذرة ستحدد بـ  $(a, b, c)$ . عزم القصور الذاتي للمحاور الثلاث ستكون بالصيغة التالية.

$$I_a = \sum_{i=1}^{N+1} m_i (b_i^2 + c_i^2)$$

$$I_b = \sum_{i=1}^{N+1} m_i (a_i^2 + c_i^2)$$

$$I_c = \sum_{i=1}^{N+1} m_i (a_i^2 + b_i^2)$$

$$\text{حيث أن } I_c \geq I_b \geq I_a$$

(مثال) ما هو عزم القصور الذاتي لجزيئه  $\text{H}_2\text{O}$  إذا كانت إحداثيات الذرات الثلاث في الفراغ كما يلي:

$$\text{H}_1[0.075 \text{ nm}, 0.052 \text{ nm}, 0] \quad \text{و} \quad \text{O}[0, -0.00652 \text{ nm}, 0] \quad \text{و} \quad \text{H}_2[-0.075 \text{ nm}, 0.052 \text{ nm}, 0]$$

الحل:

$$I_a = m(\text{H}_1)((0.052 \text{ nm})^2 + (0)^2) + m(\text{H}_2)((0.052 \text{ nm})^2 + (0)^2) \\ + m(\text{O})((-0.0652 \text{ nm})^2 + (0)^2)$$

$$I_a = 1.02 \times 10^{-47} \text{ kg.m}$$

$$I_h = m(H_1) \left( (-0.0757\text{nm})^2 + (0)^2 \right) + m(H_2) \left( (0.0757\text{nm})^2 + (0)^2 \right) \\ + m(O) \left( (0)^2 + (-0.0652\text{nm})^2 \right)$$

$$I_h = 1.91 \times 10^{-47} \text{ kg.m}$$

$$I_c = m(H_1) \left( (0.0757\text{nm})^2 + (0.0521\text{nm})^2 \right) + m(H_2) \left( (0.0757\text{nm})^2 \right. \\ \left. + (0.0521\text{nm})^2 \right) + m(O) \left( (0)^2 + (-0.0652\text{nm})^2 \right)$$

$$I_c = 2.92 \times 10^{-47} \text{ kg.m}$$

**توضيح:** وفقاً للمثال السابق فان من الممكن حساب عزم القصور الذاتي لأي نظام جزيئي أو غير جزيئي إذاً أمكن تحديد موقع الذرات في الفراغ. كما أن هذه تعتبر الخطوة الأولى في دراسة الطيف الدوراني لذلك النظام.

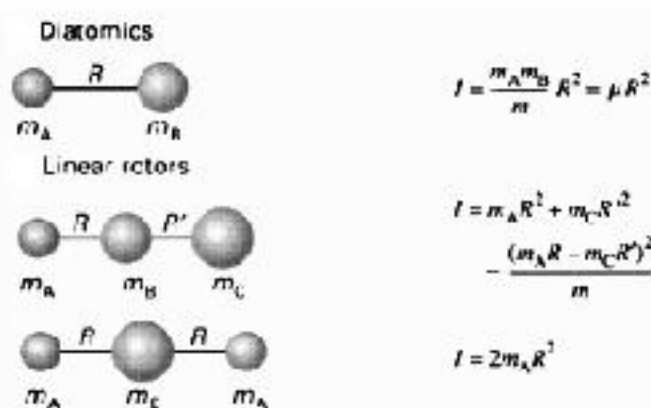
#### مستويات الطاقة الدورانية Rotational energy levels

من شائع حل معادلة شرويدنغر للدوران الصد فان الطاقة الدورانية تكون  $E = \mathfrak{J}^2 / 2I$  ، حيث يمثل  $\mathfrak{J}^2$  الزخم الزاوي الكلي والذي يساوي مجموع مركبات الزخم الثلاث  $\mathfrak{J}^2 = J_a^2 + J_b^2 + J_c^2$  ، لذا فان المعادلة العامة للطاقة الدورانية ستكون على النحو التالي .

$$E = \frac{\mathfrak{J}^2}{2I} = \frac{J_a^2}{2I_a} + \frac{J_b^2}{2I_b} + \frac{J_c^2}{2I_c}$$

#### الجزيئات كدوران صد خطى The molecules as linear regard rotor

الجزيئات الخطية والتي تصنف كدوران صد مثل جزيئ CO<sub>2</sub> و HCl و C<sub>2</sub>H<sub>2</sub>، حيث يكون الدوران حول محور عمودي على المحور الجزيئي الأساسي. تتكون الجزيئات الخطية أما من ذرتين أو عدد من الذرات. وفي حالة الجزيئات الخطية تكون بذلك من كبة واحدة فقط لعزم القصور الذاتي بحيث  $I_c = I_b, I_c = I_b, I_c = 0$  ، لاحظ الشكل (3).



(الشكل 3)

لذا فان المعادلة الخاصة بالطاقة الدورانية للجزيئات الخطية تكون .

$$E = \frac{\vec{J}^2}{2I} = J(J+1) \frac{\hbar^2}{2I}, \quad J = 0,1,2,\dots$$

حيث  $J(J+1)\hbar^2$  القيمة الذاتية لمؤثر الزخم  $\vec{J}^2$  واذا عرفنا ثابت الدوران Rotational constant للجزيئات الخطية على النحو التالي .

$$\hbar c B = \frac{\hbar^2}{2I} \text{ or } B = \frac{\hbar}{4\pi c I}$$

وبذلك فان حد الدوران Rotational term للدوران الخطى سيكون بالشكل التالي .

$$F(J) = BJ(J+1), \quad J = 0,1,2,\dots$$

الشكل (4) يبين المستويات الدورانية للدوران الخطى (الجزيئات الخطية) حيث نلاحظ ان المسافة الفاصلة بين المستويات الدورانية تزداد مع زيادة  $J$  . وان الفرق بين المستويات الدورانية للجزيئات الخطية يمكنه ان يكون  $\Delta F(J) = 2BJ, \quad J = 0,1,2,\dots$  . إن الفرق بين المستويات يعتمد على ثابت الدوران والذي بدوره يعتمد عكياً على عزم القصور الذاتي . عندما تكون كتل ذرات الجزيئه كبيرة ، العدد الذري كبير ، فان ذلك سيؤدي إلى زيادة في عزم القصور الذاتي ولذى سيقلل بدوره من قيمة ثابت الدوران . وبذلك فان المستويات الدورانية ستتقارب فيما بينها .



(الشكل (4)

#### The molecules as spherical regard rotor

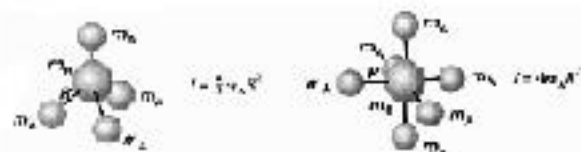
الجزيئات التي يكون مركبات عزم القصور الذاتي الثلاث لها متساوية أي أن  $I_a = I_b = I_c$  وكما في جزيئة  $\text{CH}_4$  و  $\text{SiH}_4$  و  $\text{SF}_6$  ، فان الطاقة الدورانية للدوران الكروي تكون .

$$E = \frac{\vec{J}^2}{2I} = \frac{J_a^2}{2I_a} + \frac{J_b^2}{2I_b} + \frac{J_c^2}{2I_c} = \frac{J^2}{2I}$$

$$E = J(J+1) \frac{\hbar^2}{2I}, \quad J = 0,1,2,\dots$$

الشكل (5) يبين الوضع الفراغي لبعض الجزيئات التي تصنف كدوار ملء كروي وعزم القصور الذاتي المرافق لها. أما بالنسبة لحد الدوران للدوران الكروي فيكون.

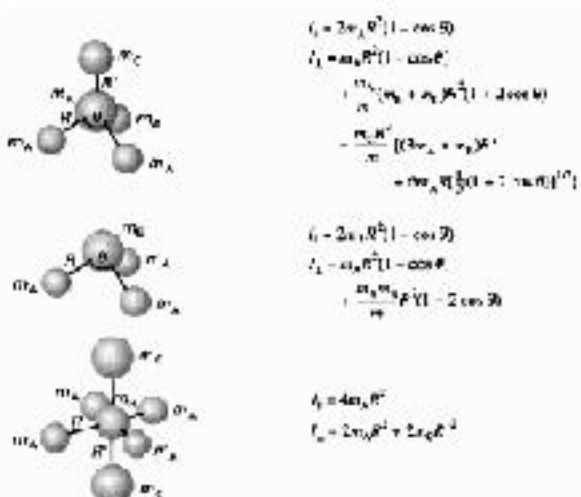
$$F(J) = BJ(J+1), \quad J = 0, 1, 2, \dots$$



الشكل (5)

#### The molecules as symmetrical regard rotor

الجزيئات التي تصنف كدوار ملء متاظر لها عزم قصور ذاتي مختلف عن الحالة الخطية والكروية والشكل (6) يوضح عزم القصور الذاتي لثلاث حالات من الجزيئات متاظرة.



الشكل (6)

الجزيئات التي تصنف كدوار متاظر مثل جزيئات  $\text{CH}_3\text{Cl}$  و  $\text{NH}_3$  تمتلك عزمين متساوين لعزم القصور الذاتي بحيث إذا كان  $I_a < I_c$  (أي أن  $I_a = I_c = I_z$ ) بمثابة العزم الموازي للمحور الأساسي للجزيئه الأساسية،  $I_b > I_a$  وبمثل العزم العمودي على محور الجزيئه الأساسي ( $I_z$ ) فإن الجزيئة ستصنف كدوار ملء مقلط *Oblate*. إذا كان  $I_a = I_c > I_b$  فإن الجزيئة ستصنف كدوار ملء متاظر *Prolate*. الطاقة الدورانية للجزيئات المتاظرة وللحالتين ستكون.

$$E^{\text{Prolate}} = \frac{\mathfrak{I}^2}{2I_b} + J_a^2 \left( \frac{1}{2I_a} - \frac{1}{2I_b} \right) \quad \text{or} \quad E^{\text{Oblate}} = \frac{\mathfrak{I}^2}{2I_z} + J_a^2 \left( \frac{1}{2I_z} - \frac{1}{2I_b} \right)$$

$$E^{Oblate} = \frac{\mathfrak{J}^2}{2I_b} + J_c^2 \left( \frac{1}{2I_c} - \frac{1}{2I_b} \right) \quad or \quad E^{Oblate} = \frac{\mathfrak{J}^2}{2I_a} + J_c^2 \left( \frac{1}{2I_a} - \frac{1}{2I_c} \right)$$

حيث أن  $J_c$  و  $J$  يمثلان مركبات الزخم الزاوي على المحورين  $a$  و  $c$  وذلك عندما لا يكون للزخم الزاوي الكلي باتجاه واحد أو إن الحركة ليست ضمن صفين بعدين. عندما يكون الزخم الزاوي موازي للمحور  $z$  فإن له قيمة ذاتية تساوي  $m_l m_l$ . وعندما يكون الدوران في ثلاثة أبعاد فإن الزخم الزاوي لا يوازي المحور  $z$  بل ستكون له مركبات على ثلاثة محاور ووفق الإحداثيات الكروية.

$$\begin{aligned}\hat{J}_x &= -i\hbar \left( -\sin\phi \frac{\partial}{\partial\theta} - \frac{\cos\phi}{\tan\theta} \frac{\partial}{\partial\phi} \right) \\ \hat{J}_y &= -i\hbar \left( \cos\phi \frac{\partial}{\partial\theta} - \frac{\sin\phi}{\tan\theta} \frac{\partial}{\partial\phi} \right) \\ \hat{J}_z &= -i\hbar \frac{\partial}{\partial\phi}\end{aligned}$$

إن كل مركبة لها قيمة ذاتية، فمثلاً  $\hat{J}_z$  على الدالة الكروية تعطى قيمة ذاتية وكما يلي.

$$\hat{J}_z Y_{lm_l}(\theta, \phi) = -i\hbar \frac{\partial}{\partial\phi} Y_{lm_l}(\theta, \phi) = m_l \hbar Y_{lm_l}(\theta, \phi), \quad m_l = 0, \pm 1, \dots, \pm l$$

بما أن القيمة الذاتية لمؤثر الزخم الزاوي الكلي  $\mathfrak{J}^2$  تساوي  $\hbar^2(J+1)$ ، لذا فإن الطاقة للمستويات الدورانية للدوران الصد المتناظر ستكون.

$$\begin{aligned}E^{Polar}(J, K) &= \frac{J(J+1)\hbar^2}{2I_a} + \hbar^2 K^2 \left( \frac{1}{2I_a} - \frac{1}{2I_b} \right), \quad J = 0, 1, 2, \dots, \quad K = 0, \pm 1, \dots, \pm J \\ E^{Oblate}(J, K) &= \frac{J(J+1)\hbar^2}{2I_b} + \hbar^2 K^2 \left( \frac{1}{2I_c} - \frac{1}{2I_b} \right), \quad J = 0, 1, 2, \dots, \quad K = 0, \pm 1, \dots, \pm J\end{aligned}$$

فإذا عرفنا ثوابت الدوران للجزيئات المتناظرة دورانياً بالشكل التالي.

$$A = \frac{\hbar}{4\pi c I_a}, \quad B = \frac{\hbar}{4\pi c I_b}, \quad C = \frac{\hbar}{4\pi c I_c}$$

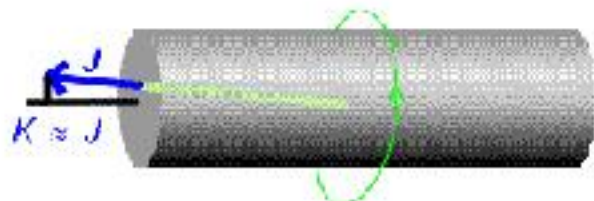
بحيث أن  $C \leq B \leq A$  عندما  $I_c \geq I_b \geq I_a$ . فإن العلاقة الخاصة بحد الدوران للجزيئات المتناظرة دورانياً ستكون.

$$F^{Polar}(J, K) = BJ(J+1) + (A-B)K^2, \quad J = 0, 1, 2, \dots, \quad K = 0, \pm 1, \dots, \pm J$$

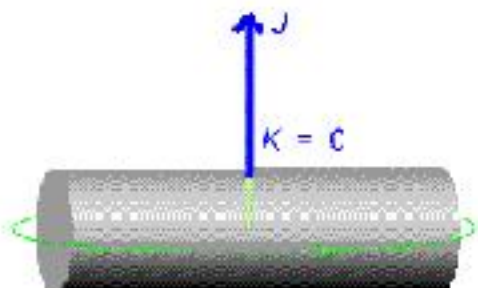
$$F^{Oblate}(J, K) = BJ(J+1) + (C-B)K^2, \quad J = 0, 1, 2, \dots, \quad K = 0, \pm 1, \dots, \pm J$$

مستويات الطاقة الدورانية للدوران المتناظر الصد تعتمد على عزمين قصوريين للجزيئة. فعندما  $K = 0$  فإنه لا يوجد مركبة للزخم الزاوي حول المحور الأساسي وإن مستويات الطاقة الدورانية تعتمد على  $I_a$  فقط وكما في الشكل (7). وعندما  $K = \pm 1$  فإن اغلب فان الزخم الزاوي سوظير من الدوران حول المحور الأساسي وإن المستويات الدورانية تعتمد بصورة كبيرة على  $I_a$  و  $I_b$  كما في الشكل (8). من علاقة الدوران المتناظر وعندما يكون  $K = 0$  فإن الحالة مشابه إلى الدوار الخطى. وإن العلاقة  $F(J) = BJ(J+1)$  للدوران الخطى مشابه للدوران الكروي ولكن هنالك اختلاف، حيث في الدوار الخطى يكون  $K = 0$  بينما في الدوار الكروي  $A = B = C$ .

$$F(J, K) = \begin{cases} K = 0 \Rightarrow \text{linear rotor} \\ K \neq 0 \Rightarrow \begin{cases} A = B \\ C = B \end{cases} \Rightarrow \text{Spherical rotor} \end{cases}$$



(الشكل (7)



(الشكل (8)

(مثال) ما هو حد الدوران لجزيئة  $\text{NH}_3$  والتي تصنف كدوار متناهٍ، إذا كان  $m(H) = 1.0078u$  و  $m(N) = 14.003u$  و  $\angle HNH = 106.7^\circ$

و كتل الذرات هي  $m(H) = 1.0078u$  و  $m(N) = 14.003u$   
الحل:

$$I_{\parallel} = 2m_H R^2 (1 - \cos\theta) = 4.4128 \times 10^{-47} \text{ kg.m}$$

$$I_{\perp} = m_H R^2 (1 - \cos\theta) + \frac{m_H + m_N}{m} R^2 (1 - 2\cos\theta) = 2.8059 \times 10^{-47} \text{ kg.m}$$

$$A = 6.344 \text{ cm}^{-1}, \quad B = 9.977 \text{ cm}^{-1}$$

$$F(J, K) / \text{cm}^{-1} = 9.977J(J+1) - 3.633K^2$$

(تمرين) هل أن جزيئة  $\text{NH}_3$  تصنف كدوار متناهٍ أم Oblate

(تمرين) ما هو الفرق بين مسوبين دورانين متناهرين دوار متناهٍ،  $\Delta F^{\text{Prolate}}(J, K)$

(تمرين) هل أن  $\Delta F^{\text{Prolate}}(J, K) > \Delta F^{\text{Oblate}}(J, K)$  أم

### The non-linear polyatomic molecules الجزيئات متعددة الذرات غير خطية

الجزيءيات التي تصنف كدوران غير منتظر مثل  $H_2O$  و  $H_2CO$  و  $CH_3OH$  فإن  $I_a \neq I_b \neq I_c$  وتعبر معقدة جداً إذا ما قورنت الدورات السابقة. الحركة الدورانية التي تخضع فقط لمؤثر الطاقة الحركية والتي تكون على امتداد ثلاثة محاور دورانية  $I_a, I_b, I_c$  توصف بالمعادلة التالية.

$$E = \frac{J_a^2}{2I_a} + \frac{J_b^2}{2I_b} + \frac{J_c^2}{2I_c}$$

ويمكن ترتيب المعادلة السابقة بحيث تحتوي على الزخم الكلي.

$$E = \frac{\hat{J}_a^2 + \hat{J}_b^2 + \hat{J}_c^2}{2I_h} + \hat{J}_a^2 \left( \frac{1}{2I_a} - \frac{1}{2I_b} \right) + \hat{J}_c^2 \left( \frac{1}{2I_c} - \frac{1}{2I_b} \right)$$

$$E = \frac{\hat{J}_a^2}{2I_h} + \hat{J}_a^2 \left( \frac{1}{2I_a} - \frac{1}{2I_b} \right) + \hat{J}_c^2 \left( \frac{1}{2I_c} - \frac{1}{2I_b} \right)$$

كل من المؤثرين  $\hat{J}_a$  و  $\hat{J}_c$  عندما يوثران على الدالة الموجية الكروية سيعطيان قيمة ذاتية  $m$ . حيث أن للزخم الراوي مرتكبة على كل من محور  $a$  و  $c$ .

$$E = \frac{J(J+1)\hbar^2}{2I_h} + \hbar^2 K_1^2 \left( \frac{1}{2I_a} - \frac{1}{2I_b} \right) + \hbar^2 K_2^2 \left( \frac{1}{2I_c} - \frac{1}{2I_b} \right)$$

بالتعريض عن ثوابت الدوران في المعادلة السابقة فإن ملائمة المستويات الدورانية للدوران غير المنتظر ستأخذ الشكل التالي.

$$F(J, K_1, K_2) = BJ(J+1) + (A-B)K_1^2 + (C-B)K_2^2$$

$$J = 0, 1, 2, \dots, \quad K_1 = 0, \pm 1, \dots, \pm J, \quad K_2 = 0, \pm 1, \dots, \pm J$$

ولغرض تحديد نوعية الدوار الصلب فإن عامل راي Ray's parameter  $\kappa$ , يعطي وصف لو مقياس لمدى تناقض الجزيئية.

$$\kappa = \frac{2B - A - C}{A - C}$$

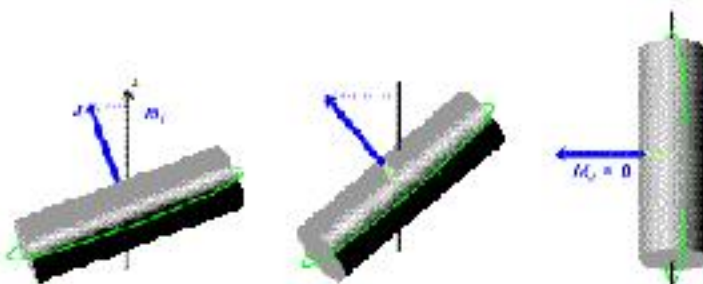
حيث أن

$$-1 < \kappa < +1 = \begin{cases} \kappa = -1 \Rightarrow \text{Prolate-symmetric} \\ \kappa \approx -1 \Rightarrow \text{Near-prolate(asymmetric)} \\ \kappa \approx +1 \Rightarrow \text{Near-oblate(asymmetric)} \\ \kappa = +1 \Rightarrow \text{Oblate-symmetric} \end{cases}$$

(تمرин) ما هو تصنيف جزيئ  $H_2O$  إذا كانت عزم القصور الثاني هو  $I_a = 1.02 \times 10^{-47} kg.m$  و  $I_c = 2.92 \times 10^{-47} kg.m$  ،  $I_b = 1.91 \times 10^{-47} kg.m$

## الانحلالية وتأثير ستارك

طاقة الدوار المتناظر تعتمد على كل من  $K, J$  وان لكل المستويات ما عدی  $K = 0$  تكون هذالك انحلالية ثنائية  $|K = 1\rangle$  و  $|K = -1\rangle$  لها نفس الطاقة الدورانية. اي ان الانحلالية تكون  $|1, 2J+1\rangle$  عندما  $|K \neq 0\rangle$ . من المهم ملاحظة بان الزخم الزاوي للجزيئة Molecular angular momentum يمتلك مركبة على محور مختبri خارجي. هذه المركبة مكتملة ولها قيمة ثابتة  $J = M_r = 0, \pm 1, \dots, \pm J$  و  $M_r = M_J$  والتي ستعطى  $(2J+1)$  وكما في الشكل (9). لكن  $(1, 2J+1)$  من التوجيهات الدورانية الجزيئية نفس الطاقة، لذا فان مستوى الدوار العصلي المتناظر له  $(1, 2J+1)$  انحلال عندما  $|K \neq 0\rangle$  و  $(1, 2J+1)$  الحال عندما  $|K = 0\rangle$ . الدوار الخطى له  $|K = 0\rangle$  ولكن الزخم الزاوي سيكون له  $(1, 2J+1)$  مركبة على المحور المختبri لذا تكون الانحلالية تساوي  $(1, 2J+1)$ . الدوار الكروي مشابه إلى الحالة المتناظرة. إن  $K$  من الممكن ان تأخذ  $(2J+1)$  من القيم. كما ان  $(1, 2J+1)$  من الانحلاليات يظهر من التوجيه في الفراغ وكذلك  $(1, 2J+1)$  انحلالية من التوجيه مع محور افتر اضى في الجزيئة.

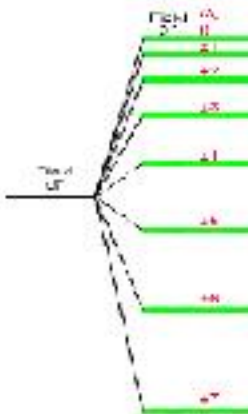


الشكل (9)

لذا فان الانحلالية للدوران الكروي ستكون  $|1, 2J+1\rangle$  لكل قيمة من  $J$ . هذه الانحلالية ستزداد بسرعة كبيرة عندما تكون قيمة  $J=10$ . حيث سيكون هناك 441 حالة دورانية Rotational state لها نفس الطاقة. الانحلالية المقترنة مع العدد الكمي  $M_r$  (توجيه الدوران في الفراغ) سيزال جزيئا مع تسلیط مجال كهربائي خارجي على جزيئية قطبية مثل  $\text{HCl}$  و  $\text{NH}_3$  وكما في الشكل (10). حيث تسمى عملية فصل المستويات الدورانية بواسطة المجال الكهربائي بتأثير ستارك Stark effect. دوران خطى في مجال كهربائي  $E$  فان طاقة المستويات الدورانية  $\langle J, M_r | E | J, M_r \rangle$  ستكون:

$$E(J, M_r) = hcBJ(J+1) + \left( \frac{J(J+1) - 3M_r^2}{2hcBJ(J+1)(J-1)(2J+3)} \right) \mu^2 \epsilon^2$$

نلاحظ بان طاقة المستوى مع العدد الكمي  $M_r$  تعتمد على مربع عزم ثانى القطب الكهربائي المستمر  $\mu$ . لذا يمكن اعتبار ظاهرة ستارك كمقياس لاعتماد الجزيئات على هذه الخاصية. في ظاهرة ستارك يكون المجال الكهربائي المسلط بحدود  $10^5 \text{ V/m}$  والتردد يتراوح بين  $10 \text{ kHz} \sim 100 \text{ GHz}$  على التوالي.



(الشكل (10)

(تمرين) رسم مخطط لمستويات الطاقة الدورانية لجزيئه خطية قبل وبعد وجود مجال كهربائي  $J = 0, 1, 2, 3, 4, 5, 6$  فقط. ثم بين الفرق في المستوى الدوراني قبل وبعد وجود المجال الكهربائي.

#### توزيع المستويات الدورانية Rotational levels populate

بما إن الجزيئات الثانية تكون في حالة الاهتزاز الأرضية Ground vibrational state عند درجة حرارة الغرفة فإن الاختلافات التي تلاحظ في طيف الاهتزاز الجزيئي يكون بسبب عدد الجزيئات التي لها حالات دورانية  $J$ . كل حالة دورانية  $J$  لها الحالات  $J+1$  والتي لها  $M_J$  حالة. عدد الجزيئات التي تكون في المستوى الدوران  $J$  وفق دالة توزيع ماكسويل - بولتزمان Maxwell-Boltzmann distribution هي.

$$f(J) = \frac{g_J}{q_{\text{rot}}} \exp\left(-\frac{E_J}{k_B T}\right)$$

حيث أن  $f(J)$  يمثل عدد الجزيئات التي تكون ضمن مستوى الدوراني  $J$  و  $g_J$  تمثل احتمالية ذلك المستوى الدوراني و  $q_{\text{rot}}$  دالة التجزئة Partition function وتساوي.

$$\cdot q_{\text{rot}} = \sum_{J=1}^{\infty} g_J \exp\left(-\frac{E_J}{k_B T}\right)$$

لذى سنكون العلاقة الخاصة بعدد الجزيئات التي تشغل المستوى الدوران  $J$  وفق الشكل التالي

$$f(J) = \frac{2J+1}{q_{\text{rot}}} \exp\left(-\frac{BJ(J+1)}{k_B T}\right)$$

سنكون دالة التجزئة الجزيئية على النحو التالي.

$$q_{\text{rot}} = \sum_{J=1}^{\infty} (2J+1) \exp\left(-\frac{B(2J+1)}{k_B T}\right) \equiv \int_0^{\infty} (2J+1) \exp\left(-\frac{B(2J+1)}{k_B T}\right) dJ = \frac{k_B T}{B}$$

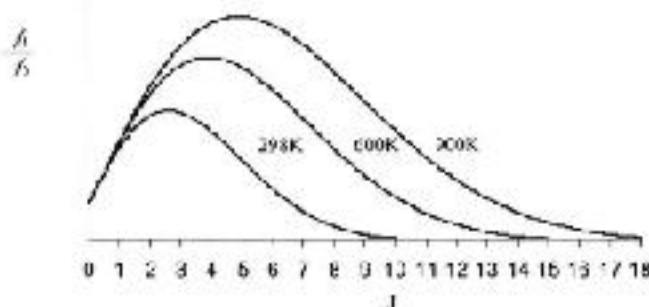
وبذلك تكون

$$f(J) = \frac{B(2J+1)}{k_B T} \exp\left(-\frac{BJ(J+1)}{k_B T}\right)$$

الارتفاع النسبي للقيم في طيف الاهتزاز لجزيئه شائبة الذرة يمكن أن يمثل كنسبة بين عدد الجزيئات في الحالة الدورانية علي  $\langle J, M_J \rangle$  وعدد الجزيئات التي تكون في الحالة الدورانية الأرضية  $\langle 0, 0 \rangle$ .

$$\frac{f(J)}{f(0)} = (2J+1) \exp\left(-\frac{BJ(J+1)}{k_b T}\right)$$

(تمرين) نقاش تأثير درجة الحرارة على  $f(J)/f(0)$  الخاصة بجزيئ HCl والمبين في الشكل (11) حيث أن ثابت الدوران  $B = 10.59 \text{ cm}^{-1}$ .

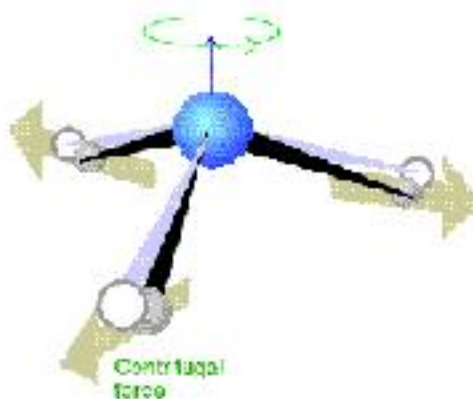


الشكل (11)

(تمرين) ما هو المستوى الدوراني الذي يكون فيه عدد الجزيئات اكبر ما يمكن وما تأثير الحرارة على ذلك؟

#### تشوه الطرد المركزي Centrifugal distortion

بسبب الحركة الدورانية فان ذرات الجزيئة ستفعل تحت تأثير قوة مركبة طاردة Centrifugal force تعمل هذه القوة على سحب ذرات الجزيئه بعيداً عن محور الدوران، والذي بدوره سيحدث تغير في عزم القصور الذاتي وبذلك فان المسافة بين المستويات الدورانية ستقل، وكمل مبين في الشكل (12).



الشكل (12)

من المعادلة الخاصة بموضع الهمتون  $\hat{H}(r, \theta, \phi)\psi(r, \theta, \phi) = E\psi(r, \theta, \phi)$

$$\hat{H}(r, \theta, \phi)\psi(r, \theta, \phi) = -\frac{\hbar^2}{2\mu} \left[ \frac{1}{r} \left( \frac{\partial^2}{\partial r^2} \right) \psi(r, \theta, \phi) + \frac{1}{r^2} \Lambda^2 \psi(r, \theta, \phi) \right] + V(r)\psi(r, \theta, \phi)$$

$$\cdot \psi(r, \theta, \phi) = R(r)Y(\theta, \phi)$$

$$-\frac{\hbar^2}{2\mu} \left[ \frac{1}{r} \left( \frac{\partial^2}{\partial r^2} \right) R(r)Y(\theta, \phi) - \frac{J(J+1)\hbar^2}{r^2} R(r)Y(\theta, \phi) \right] + V(r)R(r)Y(\theta, \phi) = ER(r)Y(\theta, \phi)$$

ويعد التمعيض عن  $\Lambda$  وفصل الدالة الموجية

$$-\frac{\hbar^2}{2\mu} \left[ \frac{1}{r} \left( \frac{\partial^2}{\partial r^2} \right) R(r) - \frac{J(J+1)\hbar^2}{r^2} R(r) \right] + V(r)R(r) = ER(r)$$

إذا افترضنا أن للتغير في الإزاحة هو  $s = r - r_o$  حيث  $r_o$  يقابل الجهد (طول الأصارة الطبيعي).

وعندما  $r = r_o$  فإن  $s = 0$ . لذا نعرف دالة جديدة مثل  $S(s)$  بحيث  $S(s) = S(r - r_o) = rR(r)$ . وبذلك فإن معادلة شرويدنكر ستؤول إلى الشكل التالي.

$$-\frac{\hbar^2}{2\mu r} \left( \frac{\partial^2 S(s)}{\partial r^2} \right) - \frac{J(J+1)\hbar^2}{2\mu(s+r_o)^2} S(s) + V(r+r_o) \frac{S(s)}{r} = E \frac{S(s)}{r}$$

بضرب طرفي المعادلة بـ  $r$  نحصل على.

$$-\frac{\hbar^2}{2\mu} \left( \frac{\partial^2 S(s)}{\partial r^2} \right) - \frac{J(J+1)\hbar^2}{2\mu(s+r_o)^2} S(s) + V(r+r_o)S(s) = ES(s)$$

في حالة  $J = 0$  فإن المعادلة تتمثل معادلة شرويدنكر لمتنبب توافقى، وعندما  $J \neq 0$  فإن الجهد لهذا النظام سيتغير بسبب العزم الزاوي. للجهد الفعال Effective potential يصبح.

$$V_J^{\text{effective}}(r+r_o) \cong V(r+r_o) + \frac{J(J+1)\hbar^2}{2\mu(s+r_o)^2}$$

لعرض حل المعادلة أعلاه سنتفتح الجهد الفعال على شكل مفهوك تايلر Taylor expansion

$$\frac{1}{(s+r_o)^2} = \frac{1}{r_o^2(1+\frac{s}{r_o})^2} = \frac{1}{r_o^2} \left( 1 - \frac{2s}{r_o} + \frac{6s^2}{r_o^2} - \frac{24s^3}{r_o^3} + \dots + (-1)^n \frac{(n+1)!s^n}{r_o^n} + \dots \right)$$

إذا اعتمدنا أول حدين من المفهوك بحيث.

$$\frac{1}{(s+r_o)^2} \cong \frac{1}{r_o^2} - \frac{2s}{r_o^3}$$

وبذلك يكون الجهد الفعال بالشكل التالي.

$$V_J^{\text{effective}}(r+r_o) \cong V(r+r_o) + a + bs$$

حيث أن

$$a = BJ(J+1), \quad b = -\frac{2BJ(J+1)}{r_o}$$

وإذا افترضنا أن جهد الاهتزاز هو جهد توافقى  $\frac{1}{2}ks^2$  فإن الجهد الفعال سيكون.

$$V_J^{\text{effective}}(r+r_o) \cong \frac{1}{2}ks^2 + a + bs$$

لذا فإن معادلة شرويدنكر ستؤول إلى الشكل التالي.

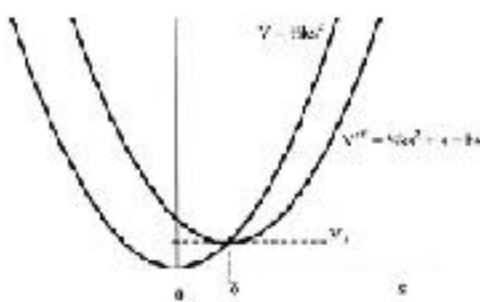
$$\left( -\frac{\hbar^2}{2\mu} \frac{d^2\psi_r}{ds_2^2} + \psi_r (\frac{1}{2}ks^2 + a) \right) + bs\psi_r = E\psi_r$$

احد طرق حل هذه المعادلة هو نظرية التصحيف Perturbation theory, حيث أن الحد  $bs$  يمكن أن يعتمد كحد التصحيف الأول للطاقة الدورانية. لغرض تبسيط حل معادلة شرويدنكر فإنه الممكن ومن خلال ملاحظة الشكل (13) أن يوجد ترابط بين الجهدين الفعال والتواقي. يمكن ملاحظة أن الاختلاف بين الجهدين هو  $\delta$  اي أن الجهد الفعال يكون  $V_o(\delta + r_o) = V_{eff}(r + r_o)$ , أي أن اوطن نقطة في الجهد المكافئ الخاص بالمتذبذب التواقي قد زجفت بعدهار  $\delta$  لذا فمن الازم إضافة  $V$  لكل قيم الطاقة بحيث تكون معادلة شرويدنكر بالشكل التالي.

$$\left( -\frac{\hbar^2}{2\mu} \frac{d^2\psi_r}{ds_2^2} + \psi_r (V_o + \frac{1}{2}ks^2) \right) = \left[ V_o + \left( V + \frac{1}{2} \right) \theta \right] \psi_r$$

الدالة الموجية  $\psi_r$  هي نفسها للمتذبذب التواقي. أما قيمة  $V$  فتمثل اقل قيمة للجهد الفعال عندما  $s = \delta$ ,  $V_{eff}(r + r_o) \cong \frac{1}{2}ks^2 + a + bs$  لذلك فان قيمة  $\delta$  تحدد من خلال اشتقاق الجهد الفعال بالنسبة لـ  $s$  ثم نساويه للصفر.

$$\begin{aligned} \frac{d}{ds} (V_{eff}(r + r_o) \cong \frac{1}{2}ks^2 + a + bs) &= 0 \\ \frac{dV_{eff}(r + r_o)}{ds} \Big|_{s=\delta} &= ks + b = 0 \\ \therefore \delta &= -\frac{b}{k} = \frac{2BJ(J+1)}{kr_o} \end{aligned}$$



(الشكل (13))

قيمة  $V_o$  يتم تحديدها وذلك بتعويض علاقه  $\delta = 2BJ(J+1)/kr_o$  في المعادله  $V_{eff}(r + r_o) \cong \frac{1}{2}ks^2 + a + bs$

$$V_o = \frac{1}{2}k \left( \frac{-b}{k} \right)^2 + a + b \left( \frac{-b}{k} \right) = -\frac{1}{2} \left( \frac{b}{k} \right) + a = a - \frac{1}{2} \left( \frac{b}{k} \right)$$

$$V_o = BJ(J+1) - \frac{B^2 J^2 (J+1)^2}{2kr_o^2}$$

الحد الأول يمثل حد الدوران والحد الثاني سيمثل تأثير قوة الطرد المركزي. لذا بعد عملية التصحيف هذه ستزول الطاقة الدورانية إلى الصيغة التالية.

$$F(J) = BJ(J+1) - D_J J^2 (J+1)^2, \quad J = 1, 2, \dots$$

حيث يمثل  $D_J$  ثابت تشوء الطرد المركزي Centrifugal distortion constant و تكون قيمته كبيرة عندما يكون من السهل سحب الأصارة إلى الخارج. عدم ملاحظة تغير في مستويات الطاقة مع زيادة  $J$  يدل ذلك على أن الأصارة قوية. ثابت تشوء الطرد المركزي للجزيئات الثانية يرتبط بالعدد الموجي الاهتزازي  $v$  بالعلاقة التالية.

$$D_J = \frac{4B^3}{v^2}, \quad = \frac{B^2}{k\sigma_o^2}$$

عند فتح دالة حد الدوران باستخدام مذكوك تايلر Taylor expansion .

$$F(J) = B_o + B_1 J(J+1) - B_2 J^2 (J+1)^2 + \dots + (-1)^n B_n J^n (J+1)^n$$

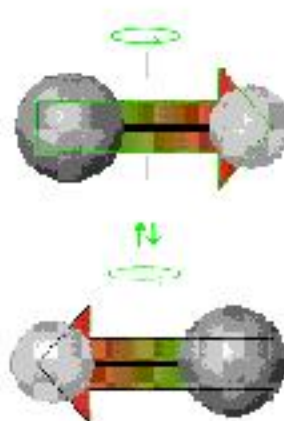
فإن الحد الأول في المذكوك متساوي صفر لأنه لا توجد حركة دورانية ابتدائية للجزيئة (حركة دورانية ذاتية). أما الحد الثاني فإنه يظهر بسبب السرعة الزاوية. الحد الثالث أشبأ بالتعجيل الزاوي لأن حركة الذرات بعيداً عن محور الدوران ستغير من السرعة الدورانية للجزيئة. الحد الرابع يظهر عندما تكون بذلك قوة مؤثر تغير مع الزمن.

(تمرين) ما هو الفرق بين المستويات الدورانية ( $J$ )، لمستويين متقاربين. عند وجود أو عدم وجود تشوء الطرد المركزي وكذلك عند الاخذ بالحد  $3 = n$ . ملاحظة  $J = 0, 1, 2, 3$ .

### الانتقالات الدورانية Rotational transitions

القيم النموذجية للطيف الدوراني الخاص بالجزيئات الصغيرة تقع ضمن  $0.1\text{cm}^{-1}$  إلى  $10$ ، مثل ذلك جزيئة  $\text{NF}_3$  التي تقع عند  $0.356\text{cm}^{-1}$  ولجزيئه  $\text{HCl}$  يكون عند  $10.59\text{cm}^{-1}$ . لذا فإن الانتقالات الدورانية تقع ضمن منطقة المايكروويف. لغرض ملاحظة طيف دوراني فإن من المهم أن تمتلك الجزيئات شائي قطب كهربائي مستمر أي يجب أن تكون الجزيئات قطبية Polar molecules. الانتقال أما أن يحدث وفقاً لامتصاص فوتون أو انبعاث فوتون وفي كلا الحالتين فإن الفوتون عبارة عن شعاع كهرومغناطيسي وإن القطب الكهربائي يمتص الإشعاع الكهرومغناطيسي أو يشع. الجزيئات القطبية تظهر عملية تتبذل لشائي القطب أثناء عملية الدوران وكما في الشكل (14) والتي سبقت مجال كهرومغناطيسي، لذا فإن الجزيئات غير القطبية لا تمتلك هذه الصفة. جزيئة مثل  $\text{CO}_2$  ذات دوران غير فعال Inactive لا تمتلك عزم قطبية فيها. أما بالنسبة للدوران الكروي فإنه لا يمتلك أيضاً عزم شائي قطب ما لم يحث تشوء بسبب الدوران. الجزيئات ذات الأوصاف القوية التي لا يحث لها تشوء الطرد المركزي لا تكون فعالة. دوران كروي مثل  $\text{SiH}_4$  تمتلك عزم شائي قطب يساوي  $8.3\mu\text{D}$  بسبب التشوء الدوراني عندما  $J = 10$  (إذا ما قارنا ذلك مع جزيئه  $\text{HCl}$  والتي لها عزم شائي قطب بحدود  $1.1\text{D}$  تقريباً).

(مثال) من بين الجزيئات التالية  $\text{N}_2$  و  $\text{CO}_2$  و  $\text{OCS}$  و  $\text{H}_2\text{O}$  و  $\text{CH}_2=\text{CH}_2$  و  $\text{C}_6\text{H}_6$  و  $\text{CH}_4$  و  $\text{NO}$  و  $\text{N}_2\text{O}$  و  $\text{H}_2$  فقط  $\text{OCS}$  و  $\text{NO}$  و  $\text{N}_2\text{O}$  لها قطبية و يمكن أن تلاحظ طيفها في منطقة المايكروويف.



الشكل (14)

عندما تكون هنالك جزينة خطية في الحالة الأرضية  $\langle \varepsilon, v, J, M_r \rangle$  حيث  $v$  تمثل الحالة الالكترونية للجزينة و  $J$  يمثل الحالة الاهتزازية للجزينة. المؤثر لمomenti  $H$  يتكون من جزء غير معتمد على الزمن  $H_0$  واخر معتمد على الزمن  $H$ , بحيث ان  $H = H_0 + H'$ . فعد حدوث انتقال من الحالة الأرضية  $\langle \varepsilon, v, J, M_r \rangle$  إلى الحالة المتهيجه  $\langle \varepsilon', v', J', M'_r \rangle$  وبذلك يأخذ الانتقال الصيغة التالية Born–Oppenheimer approximation  $\langle \varepsilon, v, J', M'_r | H | \varepsilon', v', J, M_r \rangle$ . من تفريج بورن اوينهايمير يمكن فصل الحركة الدورانية والاهتزازية للجزينة عن الحركة الالكترونية بحيث يمكن  $\langle \varepsilon | \varepsilon' \rangle$  ويمكن ايضا فصل الحركة الدورانية عن الحركة الاهتزازية وبذلك تكون مصفقة الانتقال بالشكل التالي:

$$\langle \varepsilon, v, J', M'_J | H | \varepsilon, v, J, M_J \rangle = \langle J', M'_J | \langle \varepsilon, v | H | \varepsilon, \mu \rangle | J, M_J \rangle$$

$$\langle \varepsilon, v, J', M'_J | H | \varepsilon, v, J, M_J \rangle = \langle J', M'_J | H | J, M_J \rangle$$

المؤثر المعتمد على الزمن  $H$  يمثل تفاعل المجال الكهرومغناطيسي المتذبذب للغوثون المسلط ويتردد<sup>(6)</sup> مع عزم ثانوي القطب للجزءية  $m$  بحيث

$$H_f = -\mu_{\text{molecule}} \cdot [E \cos(\omega_f t)]_{\text{vibors}} = -E \cos(\omega_f t) \mu \cos \theta$$

ويذلك تكون مصقوفة الانتقال بالشكل التالي:

$$\langle J', M'_{+} | H_{+} | J, M_{-} \rangle = \langle J', M'_{+} | -E \cos(-\omega_g t) \mu \cos \theta | J, M_{-} \rangle$$

$$\langle J', M'_{-j} | H_{ij} | J, M_{-j} \rangle = -E \cos(\omega_{\pm j} t) \mu \langle J', M'_{-j} | \cos \theta | J, M_{-j} \rangle$$

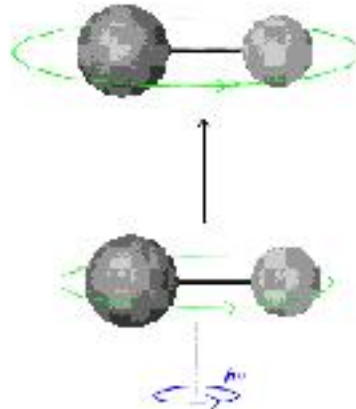
و بذلك تكون قواعد الاختيار الدورانية Rotational selection rules وفقاً لـ

$$\langle J', M' | \cos \theta | J, M_J \rangle = \begin{cases} = 0 \Rightarrow & \text{forbidden transition} \\ \neq 0 \Rightarrow & \text{allowed transition} \end{cases}$$

حيث ان

$$\langle J', M_J' | \cos\theta | J, M_J \rangle = \int_0^{2\pi} \int_0^{\pi} Y_{JM_J}^*(\theta, \phi) \cos\theta Y_{JM_J}(\theta, \phi) \sin\theta d\theta d\phi$$

بن عناصر مصفوفة عزم الانتقال الدوراني متساوي صفر مالم يتحقق الشرط التالي  $J_r = 0, \pm 1$ ,  $\Delta J = \pm 1$ , حيث يمثل  $\Delta J = +1$  الامتصاص و  $\Delta J = -1$  يمثل الانبعاث. التغير المسموح  $K$  يظهر من حفظ الزخم الزاوي حيث ان القوتون له برم متساوي واحد (امتصاص او انبعاث) وكما مبين في الشكل (15). للدوران المتاضر تغير أن تلك احتمالية الانتقالات تتطلب تغير في العدد الكمي  $K$ . بسبب ان في الدوار المتاضريكون عزم ثانى القطب الكهربائي المستمر يوازي محاور الإحداثيات  $x, y, z$  وليس تلك مركبة عمودية على المحور الأساسي. لذلك فان المجال الكهرومغناطيسي لازدوج يحدث انتقالات التي تمثل التغير في مركبات الزخم الزاوي حول المحور الأساسي. وبذلك يغير  $K$ . لذا فان قواعد الاختيار للدوران المتاضر القطبى يكون  $\Delta J = \pm 1$ ,  $\Delta M_J = 0, \pm 1$ ,  $\Delta K = 0$ . لما الدوار الصالد غير المتاضر فن قواعد الاختيار ستكون على النحو التالي  $\Delta J = \pm 1$ ,  $\Delta M_J = 0, \pm 1$ ,  $\Delta K_1 = 0$ ,  $\Delta K_2 = 0$ .



(الشكل (15)

(مثال) هل ان الانتقال الدوراني من الحالة الفردانية الأرضية  $|Y_{10}(\theta, \phi)\rangle$  إلى الحالة الدورانية المتباعدة الأولى  $|Y_{10}(\theta, \phi)\rangle$  مسموح ام لا.  
الحل:

$$\begin{aligned}\langle 10 | \cos\theta | 00 \rangle &= \int_0^{2\pi} \int_0^{\pi} Y_{10}^*(\theta, \phi) \cos\theta Y_{00}(\theta, \phi) \sin\theta d\theta d\phi \\ \langle 10 | \cos\theta | 00 \rangle &= \int_0^{2\pi} \left( \frac{1}{2} \sqrt{\frac{1}{\pi}} \cos\theta \right) \cos\theta \left( \frac{1}{2\sqrt{\pi}} \right) \sin\theta d\theta d\phi\end{aligned}$$

$$\langle 10 | \cos \theta | 00 \rangle = \frac{1}{4\pi} \sqrt{3} \int_0^{2\pi} \int_0^{\pi} \cos^2 \theta \sin \theta d\theta d\phi$$

$$\langle 10 | \cos \theta | 00 \rangle = \frac{1}{4\pi} \sqrt{3} \left[ -\frac{\cos^3 \theta}{3} \right]_0^{\pi} [\phi]^{2\pi}$$

$$\langle 10 | \cos \theta | 00 \rangle = \frac{1}{4\pi} \sqrt{3} \left[ \frac{2}{3} \right] [2\pi] = \frac{1}{\sqrt{3}}$$

(تمرين) ما هي امكانية حدوث انتقال من الحالة الدورانية الأرضية ( $Y_{00}(\theta, \phi)$ ) إلى الحالة الدورانية المتباعدة الثانية ( $Y_{20}(\theta, \phi)$ ) .

#### ظهور الطيف الدوراني Appearance of rotational spectra

عند تطبيق قواعد الاختيار على المستويات الدورانية للدوران الصد فان الأعداد الموجية المسموح بها في الامتصاص  $J \leftarrow J + 1$  تكون.

$$\hat{v} = F(J+1) - F(J) = 2B(J+1), \quad J = 0,1,2,\dots$$

وعند إدخال تأثير شوه الطرد المركزي في الحسابات فان العلاقة تصبح بالشكل التالي

$$\hat{v} = \Delta F(J) = 2B(J+1) - 4D_J(J+1)^3, \quad J = 0,1,2,\dots$$

بما أن تأثير الحد الثاني قليل جداً مقارنـاً مع الحد الأول لذا فان ظهور الطيف سيكون مقارب إلى الطيف المحسوب بالعلاقة الأولى فقط.

(تمرين) اثبت صحة العلاقة  $\hat{v} = 2B(J+1), \quad J = 0,1,2,\dots$

(تمرين) اثبت صحة العلاقة  $\hat{v} = 2B(J+1) - 4D_J(J+1)^3, \quad J = 0,1,2,\dots$

(مثال) ما هي التوقعات لظهور طيف دوراني لجزيئ  $\text{NH}_3$ .

الحل: جزيئ  $\text{NH}_3$  قطبي وتصنف كدوران صد متذبذر لذا فان قواعد الاختيار تكون  $\Delta K = 0$  ولحالة الامتصاص فان  $\Delta J = +1$ .

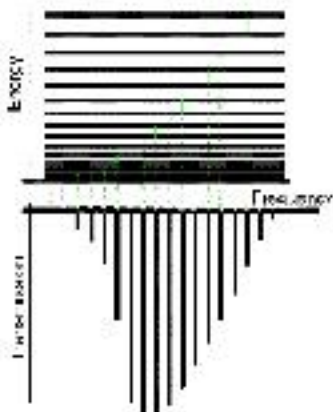
$$B = 9.977 \text{ cm}^{-1}$$

$$\hat{v} = 2B(J+1), \quad J = 0,1,2,\dots$$

لذا فان الانتقالات  $J \leftarrow J + 1$  ستكون.

$J$	0	1	2	3	...
$\hat{v}/\text{cm}^{-1}$	19.95	39.91	59.86	79.82	...

شكل الطيف الذي يظهر وفق المعادلة  $\hat{v} = 2B(J+1)$  و المبين في الشكل (16) يتكون من سلسلة خطوط وبأعداد موجية  $6B, 4B, 2B, \dots$  بحيث ان الفرق بين أي مستويين متتاليين يكون  $2B$ .



(الشكل (16)

من الممكن ملاحظة أن شدة الانتقال تزداد مع زيادة  $J$ . لتصل إلى أعظم قيمة ومن ثم تنخفض مع استمرار زيادة  $J$ . قيمة  $J$  لمستوي دوراني ذو نسبة عالية ولدوار صلد خططي تكون.

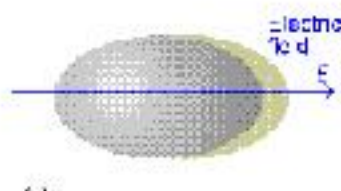
$$J_{\max} \approx \sqrt{\frac{k_e T}{2hcB}} - \frac{1}{2}$$

لجزينة خططية مثل OCS والتي لها  $B = 0.2 \text{ cm}^{-1}$  وعند درجة حرارة الغرفة  $k_e T \approx 1000 \text{ hcB}$  فان  $J_{\max} \approx 30$ .

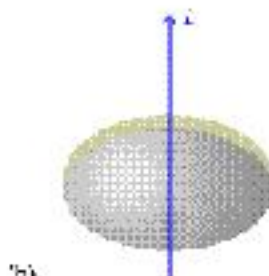
(تمرين) ما هي التوقعات لظهور طيف دوراني لجزينة  $\text{CCl}_3\text{H}_3$ ?

### طيف رامان للدوران Rotational Raman spectra

عملية التشوه والتي تحصل لجزينة عندما تكون في مجال كهربائي يتم تحديدها بالاستقطاب  $\alpha$ , Polarizability. إذا كانت شدة المجال الكهربائي المسلط,  $E$ , فإن الجزينة ستكتسب عزم ثانوي قطب متحث مقداره  $\mu = \alpha E$ . بالإضافة إلى عزم ثانوي قطب موجود أصلاً في الجزينة. استقطاب الجزيئات التي تعتبر كدوار صلد كروي يكون متساوي. الجزيئات التي تعتبر كدوار صلد غير كروي لها استقطاب ويعتمد على اتجاه المجال المسلط نسبة لجزينة، بحيث هذه الجزيئات يكون استقطابها غير متساوي كما في الشكل (17). التوزيع الإلكتروني في جزينة  $\text{H}_2$  يكون أكثر تشوه عندما يكون المجال المسلط موازي للأصارة بين ذرتين الهيدروجين مقارنةً مع سلط المجال بصورة عمودية على الأصارة، لذا نكتب  $\alpha_{\parallel} < \alpha_{\perp}$ . جميع الجزيئات الخططية تمتلك استقطاب متساوي وتتغير لها دوران رaman فعال. الدورات الكروية مثل جزينة  $\text{CH}_4$  و  $\text{SF}_6$  يكون دوران رامان لها غير فعال. فوامتد الاختصار لدوران رامان تكون  $\Delta J = 0, \pm 1, \pm 2$ ;  $\Delta K = 0$ . *Symmetric rotors*:  $\Delta J = 0, \pm 1, \pm 2$ ;  $\Delta K = 0$ . *Linear rotors*:  $\Delta J = 0, \pm 2$  الكهربائي المسلط بتردد  $\omega$ , وقد حدث عزم ثانوي قطب في الجزينة يساوي  $\mu = \alpha E(t) = \alpha E \cos \omega t$ , فعند دوران الجزينة بتردد داري،  $\omega_0$ , فإن الاستقطاب المعتمد على الزمن سيكون  $\alpha = \alpha_0 + \Delta \alpha \cos 2\omega_0 t$ , حيث  $\alpha_0 - \Delta \alpha = \alpha_{\parallel}$  و  $\alpha_0 + \Delta \alpha = \alpha_{\perp}$  إلى  $\alpha = \alpha_0 - \Delta \alpha$  كلما دارة الجزينة. الرقم 2 الذي يليه . إن الاستقطاب يعود إلى الحالة الابتدائية مرتين خلال كل دورة وكما في الشكل (18).



(a)



(b)

الشكل (17)

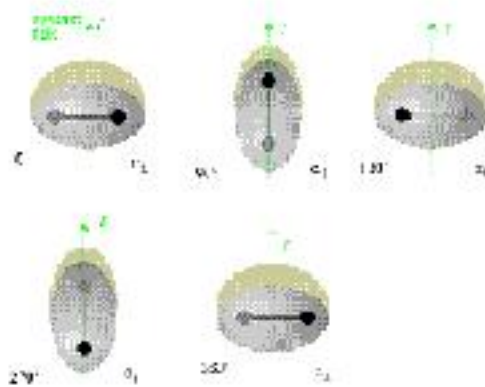
و عند تعويض  $t = \alpha E \cos \omega_i t$  في علاقه عزم الشانى للمحت  $\mu = \alpha E(t) = \alpha E \cos \omega_i t$  نحصل على .

$$\mu = (\alpha_0 + \Delta\alpha \cos 2\omega_k t) E \cos \omega_i t$$

$$\mu = (\alpha_0 E \cos \omega_i t + \Delta\alpha \cos 2\omega_k t E \cos \omega_i t) E \cos \omega_i t$$

$$\mu = (\alpha_0 E \cos \omega_i t + \frac{1}{2} E \Delta\alpha \{ \cos(\omega_i + 2\omega_k)t + \cos(\omega_i - 2\omega_k)t \})$$

هذه العلاقة تظهر بان عزم الشانى للمحت يمتلك مركبة ذبذب عند التردد الساقط، وكذلك مركبين عند  $\omega_i \pm 2\omega_k$  والتي تعطي زياده لازمة خطوط رامان. هذه الخطوط تظهر فقط إذا كان  $\Delta\alpha \neq 0$ . قواعد الاختبار يمكن أن توضح على أساس حفظ الزخم الزاوي، حيث هنالك فوتون ساقط وفوتون مستطرار Scattered photon بزاوية قائلة بينهما. بما أن الفوتونين لكل منهما يرمي يساوي واحد فان أعظم تغير في العدد الكسى للزخم الزاوي يكون له احتمالين  $\pm 2$ .



الشكل (18)

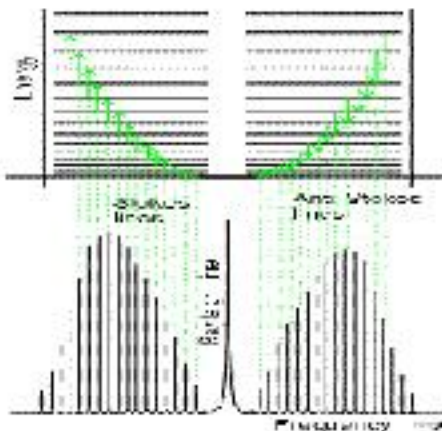
من الممكن أن توقع طيف رامان للدوار المصلد الخلقي وذلك بالاعتماد على قواعد الاختبار  $\Delta J = \pm 2$  وبذلك تكون مستويات الطاقة الدورانية كما في الشكل (9). عندما تقوم الجزيئية بعمل الانتقال وفقاً  $\Delta J = \pm 1$  فإن الشعاع المستellar سيغادر الجزيئية وهي في حالة الدوران العلوي، بحيث أن العدد الموجي للشعاع الساقط  $\Delta S = \pm 1$ . هذه الانتقالات تمثل خطوط سوكس Stokes lines في الطيف.

$$\tilde{v}(J+2 \leftarrow J) = \tilde{v}_i - \{F(J+2) - F(J)\} = \tilde{v}_i - 2B(2J+3)$$

خطوط ستوكس للترددات الإشعاع المباعط الواطي وعند إزاحت 14B, 10B, 6B من  $\tilde{\gamma}$  ولـ  $J = 0, 1, 2, \dots$  . عندما يحدث التقابل للجزيئة عند  $-2 - \Delta J$  فإن الفوتون المستهلك سيتجاوز لزيادة الطاقة. طيف الذي ينشأ لانتقالات خطوط التقابل ستكون Anti-Stokes lines تكون.

$$\widetilde{v}(J-2 \leftarrow J) = \widetilde{v}_i - \{F(J) - F(J-2)\} = \widetilde{v}_i + 2B(2J-1)$$

خطوط التي ستوكس تحدث عند إزاحتات  $14B, 10B, 6B$  و $\tilde{v}, \dots, v$  و $J = 2, 3, 4, \dots, J$ . الذي يمثل أعلى مستوى يمكن أن يشاركه وفق قاعدة الاختيار  $-2 = \Delta J$ . المسافة التي تحصل الخطوط في كل من ستوكس وانثني ستوكس هي  $4B$ , بحيث من خلالها يمكن حساب عزم القصور الذاتي وبذلك يتم تحديد أطوال الأواصر.



(19) الشكل

(مثال) ما هو شكل طيف رaman الدوراني لجزء N<sub>2</sub> التي تمتلك  $B = 1.99\text{ cm}^{-1}$  عن تعرضها إلى ليزر بطول موجي  $336.732\text{ nm}$ .

الحل:

بلاعتماد على المعادلتين

$$\tilde{v}(J+2 \leftarrow J) = \tilde{v}_i - \{F(J+2) - F(J)\} = \tilde{v}_i - 2B(2J+3)$$

$$\bar{v}(J-2 \leftarrow J) = \bar{v}_i - \{F(J) - F(J-2)\} = \bar{v}_i + 2B(2J-1)$$

وبما أن  $\lambda = 336.732\text{nm} = \bar{\nu}^{-1}$  الذي يقابل  $\bar{\nu} = 29697.2\text{cm}^{-1}$  تحصل على موقع الخطوط التالية.

<i>J</i>	0	1	2	3
<i>Stokes lines</i>				
$\tilde{\nu} / cm^{-1}$	29685.3	29677.3	29669.3	29661.4
$\lambda / nm$	336.868	336.958	337.048	337.139
<i>Anti – Stokes lines</i>				
$\tilde{\nu} / cm^{-1}$		29709.1	29717.1	
$\lambda / nm$		336.597	336.507	

(تمرين) اعد الحسابات كما في المثال السابق لإيجاد طيف رaman الدوراني لجزيئه  $NH_3$  والتي لها ثابت دوران .  $B = 9.977 cm^{-1}$